



بررسی‌های زمین‌شناسی، دگرسانی، کانی‌شناسی، بافت و زمین‌شیمی در منطقه پی‌جويي طلای قوچی، شرق بجستان، قطعه لوت

علی‌اکبر‌اکبری^۱، آزاده‌ملک‌زاده‌شفارودی^{۲*}، محمد‌حسن‌کریم‌پور^۲

۱- گروه زمین‌شناسی، دانشکده علوم، دانشگاه فردوسی مشهد، مشهد، ایران

۲- گروه زمین‌شناسی و گروه پژوهشی اکتشاف ذخایر معدنی شرق ایران، دانشکده علوم، دانشگاه فردوسی مشهد، مشهد، ایران

(دريافت مقاله: ۱۴۰۰/۱۰/۴، نسخه نهايی: ۱۴۰۰/۱۲/۲۱)

چکیده: منطقه قوچی بخشی از پهنه آتشفشاری-نفوذی در قطعه لوت بوده و در شرق شهر بجستان در استان خراسان رضوی واقع است. زمین‌شناسی منطقه شامل واحدهای سنگی دگرگونی (اسليت و ماسه‌سنگ دگرگون شده) به سن ژوراسيک، سنگ‌های رسوبي کرتاسه پيشين (آهک، ماسه‌سنگ و کنگلومرا) و واحد آذرین نيمه عميق (پيروكسن دبوريت پورفيري) به سن كرتase پسين است. کانی‌سازی در راستای گسل‌های با روند شمال‌غربی-جنوب‌شرقی و شرقی-غربی در سنگ میزان احیایی پيروكسن دبوريت پورفيري (كرتاسه پسين) رخ داده است. کانی‌های اولیه شامل پيريت، اسفالاريت، گالن، پيروتیت، آرسنوبیريت، كالکوبیريت، کلسیت، کوارتز و به مقدار کمتر کلربیت هستند. کانی‌سازی همراه با ساخت و بافت‌های رگه-رگچه، پرکننده فضای خالی، پراکنده، جانشينی و ناماخيتگی دیده می‌شود. دگرسانی‌های عمده شامل پروپيلیتی-سرسیتی، سریتی-کربنات-سیلیسی و کربنات-سیلیسی \pm کلربیت هستند. بيشترین بی‌هنجرای‌های زمین‌شیمی برای طلا ۲۶۳۹ میلی‌گرم در تن، آرسنیک ۱۱۰۶۵ گرم در تن، سرب ۴۵۴۰۰ گرم در تن، روی ۱۹۴۰۰ گرم در تن، نقره ۱۲ گرم در تن و مس ۷۲۵ گرم در تن است. بر پایه بررسی‌های زمین‌شناسی، دگرسانی، کانی‌شناسی، بافت و زمین‌شیمی، منطقه قوچی را می‌توان به احتمال بسیار در رده کانسارهای طلای وابسته به توده‌های نفوذی احیایی (RIRGS) در نظر گرفت.

واژه‌های کلیدی: دگرسانی؛ کانی‌سازی؛ زمین‌شیمی؛ طلا؛ قوچی؛ قطعه لوت

برخورد در ژوراسيک و فرورانش قطعه افغان به زير لوت در ترشیری)، دارای حجم بالاي فعالیت ماگمايی با ويژگی‌های زمین‌شیمیایی متفاوت بوده که در برخی موارد امکان تشکیل کانی‌سازی‌های مختلف را فراهم آورده است [۴]. کریم‌پور و همکاران [۴] گستره سنی ائوسن میانی تا الیگوسن پيشين را به عنوان دوره فلز‌ايی قطعه لوت معرفی کرده‌اند و آن را وابسته به فرورانش قطعه افغان به زير لوت و تشکیل حجم بالاي ماگمايی در ارتباط با کانی‌زايی در منطقه می‌دانند. مناطق پی‌جويي مس پورفيري ماهرا آباد و خوپيك [۵]، ده‌سلم [۶]، ماهور

مقدمه

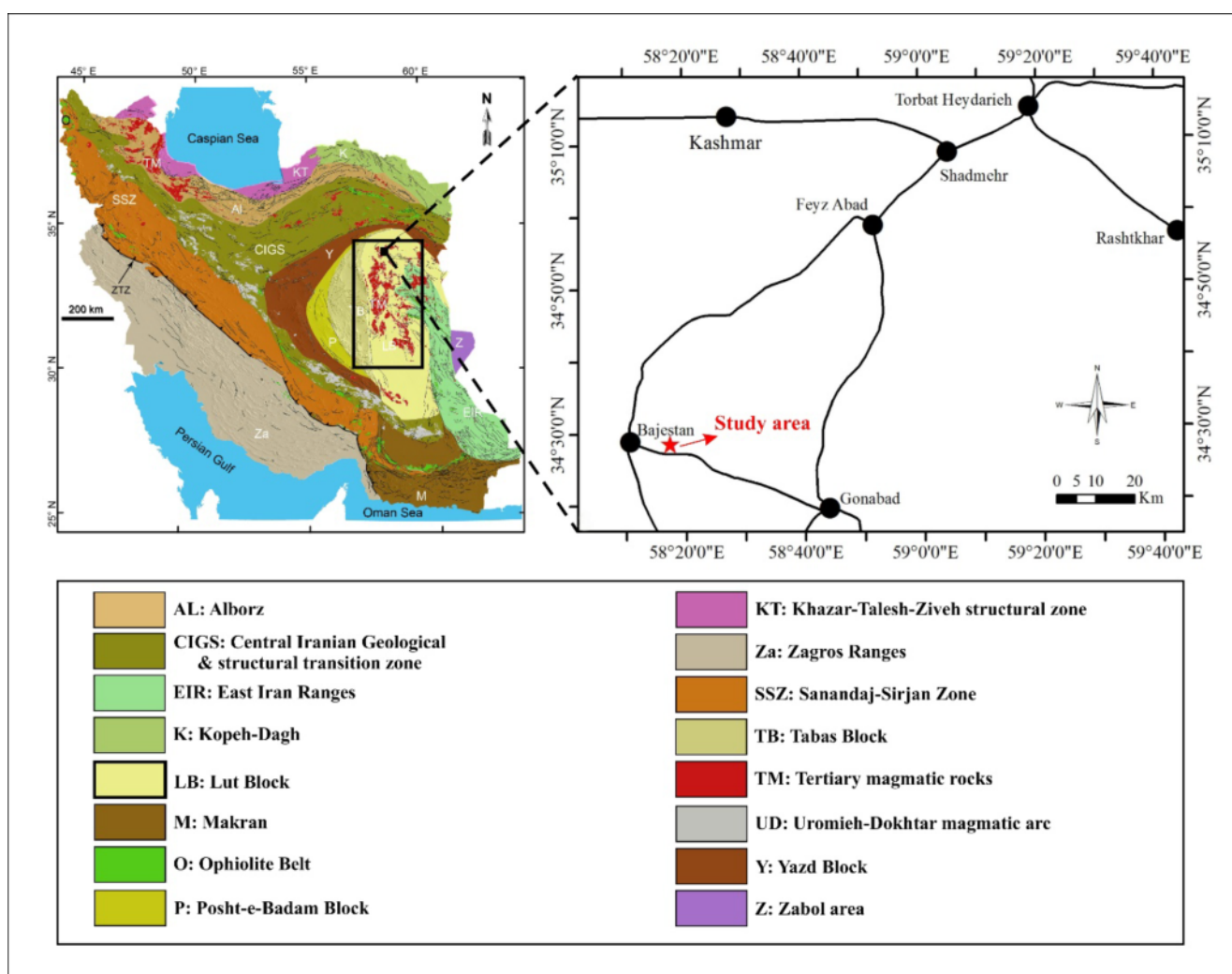
رخداد معدنی قوچی در ۱۲ کيلومetri شرق بجستان و در شمال شرق نقشه زمین‌شناسی ۱:۱۰۰۰۰۰ در فردوس [۱] بين طول‌های جغرافیایی $۱۷^{\circ} ۳۷'$ تا $۱۶^{\circ} ۵۸'$ و عرض‌های جغرافیایی $۲۹^{\circ} ۸'$ تا $۳۴^{\circ} ۲۵'$ شرقی و ۵۸° شمالی قرار دارد (شکل ۱). اين منطقه از نظر تقسيمات رسوبي-ساختماري [۳، ۲] در شمال غرب قطعه لوت واقع است (شکل ۱).

قطعه لوت به دليل داشتن موقعیت‌های زمین ساختی مختلف در زمان‌های گذشته (مانند پدیده

*نويسنده مسئول، تلفن: ۰۵۱۳۸۸۰۵۴۸۸، پست الکترونيکی: shafaroudi@um.ac.ir

تعیین گردیده است. فعالیت‌های انجام شده در این پژوهش شامل بازدیدهای صحرایی و نمونه‌برداری، بررسی‌های آزمایشگاهی و تجزیه نمونه‌ها بوده است. در بخش صحرایی، همه ویژگی‌های ساختی، بافتی و چگونگی ارتباط پدیده‌ها بررسی گردید. بیش از ۱۰۰ نمونه از واحدهای سنگی و کانی‌سازی برداشت شد. در مجموع، تعداد ۷۳ مقطع نازک، ۲۳ مقطع نازک صیقلی و ۱۲ مقطع قطعه صیقلی از واحدهای سنگی و رگه‌های کانی‌سازی (از سطح رخمنون‌ها و ترانشه‌ها) به منظور بررسی‌های سنگ‌شناسی، دگرسانی و کانی‌سازی تهیه گردید. نقشه زمین‌شناسی-دگرسانی با مقیاس ۱:۲۰۰۰ از منطقه مورد بررسی با نرم افزار ArcGIS تهیه شد.

[۷]، مس، سرب و روی نوع رگه‌ای نهشته‌های سوراب [۸]، خور [۹]، حوض‌رئیس [۱۰]، سه‌چنگی [۱۱]، مس-طلای نوع اکسید آهن-مس-طلای (IOCG) قلعه زری [۱۲] و طلا-قلع وابسته به توده‌های نفوذی احیایی در منطقه پی جویی هیرد [۱۳]، رامی‌توان از جمله کانی-سازی‌های این قطعه نام برد. پی جویی تفصیلی در منطقه پی جویی قوچی توسط شرکت کان کاوان آداد انجام شده است [۱۴]. البته با وجود بررسی‌های اکتشافی در این منطقه، تاکنون هیچ پژوهش دقیق علمی در قالب مقاله و پایان نامه پیرامون منطقه صورت نگرفته است. در این پژوهش، واحدهای سنگی، کانی‌شناسی و بافت ماده معدنی، دگرسانی و زمین‌شیمی اکتشافی و شناسایی شده و سرانجام نوع کانی‌سازی در منطقه اکتشافی قوچی شده و سرانجام نقشه زمین‌شناسی در منطقه اکتشافی قوچی



شکل ۱ موقعیت زمین‌شناسی در پهنه ساختاری و راههای دسترسی به منطقه مورد بررسی در شرق بختیاری.

و دایک‌های دیابازی شمال شرقی-جنوب غربی (NE-SW) به درون سنگ‌های گرانیت‌وئیدی نفوذ کرده‌اند. رگه‌های تورمالین با ضخامت‌های مختلف در منطقه به ویژه در بخش جنوبی منطقه مورد بررسی فراوان هستند. اسکارن‌ها در تماس با نواحی گسلی و توده‌های نفوذی دیده می‌شوند. همچنین سنگ‌های آتش‌فشاری اوسن و مونزو-گرانیت الیگو-سن در این منطقه شناخته شده‌اند [۱۶].

زمین‌شناسی منطقه مورد بررسی
براساس بررسی‌های صحرایی و آزمایشگاهی انجام شده بر منطقه قوچی، واحدهای سنگی رخنمون یافته در این منطقه شامل واحدهای دگرگونی (اسلیت و ماسه‌سنگ دگرگون شده) با سن نامشخص، واحدهای رسوبی (کنگلومرا-ماسه‌سنگ و آهک) با سن کرتاسه پیشین [۱]، واحدهای آذرین نیمه‌عمیق (پیروکسن دیوریت پورفیری) و دایک‌های (پیروکسن دیوریت پورفیری) با سن کرتاسه پسین [۱۵] هستند (شکل ۲). واحدهای اسلیت و ماسه‌سنگ دگرگون شده با گسترش کم در غرب منطقه مورد بررسی رخنمون دارند. به دلیل پدیده دگرگونی، سن‌سنگی بر پایه فسیل‌شناسی امکان پذیر نیست، اما با توجه به ویژگی‌های سنگ‌شناسی و چینه‌ای، شاید بتوان این توالی دگرگون شده را به سازند شمشک (زوراسیک) نسبت داد [۱۷]. واحد کنگلومرا-ماسه‌سنگ با گسترش کم در شمال‌غرب منطقه رخنمون دارد. اندازه قطعه‌ها اغلب از چند میلی‌متر تا ۶۰ سانتی-متر است که گرد شدگی متوسط تا خوب و جور شدگی ضعیف را نشان می‌دهند. قطعه‌ها از جنس کوارتز آرنایت و آهک با سیمان میکرایتی هستند. بخش ماسه‌سنگی بیشتر از کوارتز، ارتوکلاز و مقادیر کمتری چرت و مسکوویت با سیمان کربناتی همراه با اکسید آهن تشکیل شده است. واحد آهکی در غرب منطقه رخنمون دارد و از ریز بلورهای کلسیت (کوچکتر از ۰.۱۰ میلی‌متر) با زمینه میکرایتی تشکیل شده است (شکل ۳).

روش بررسی

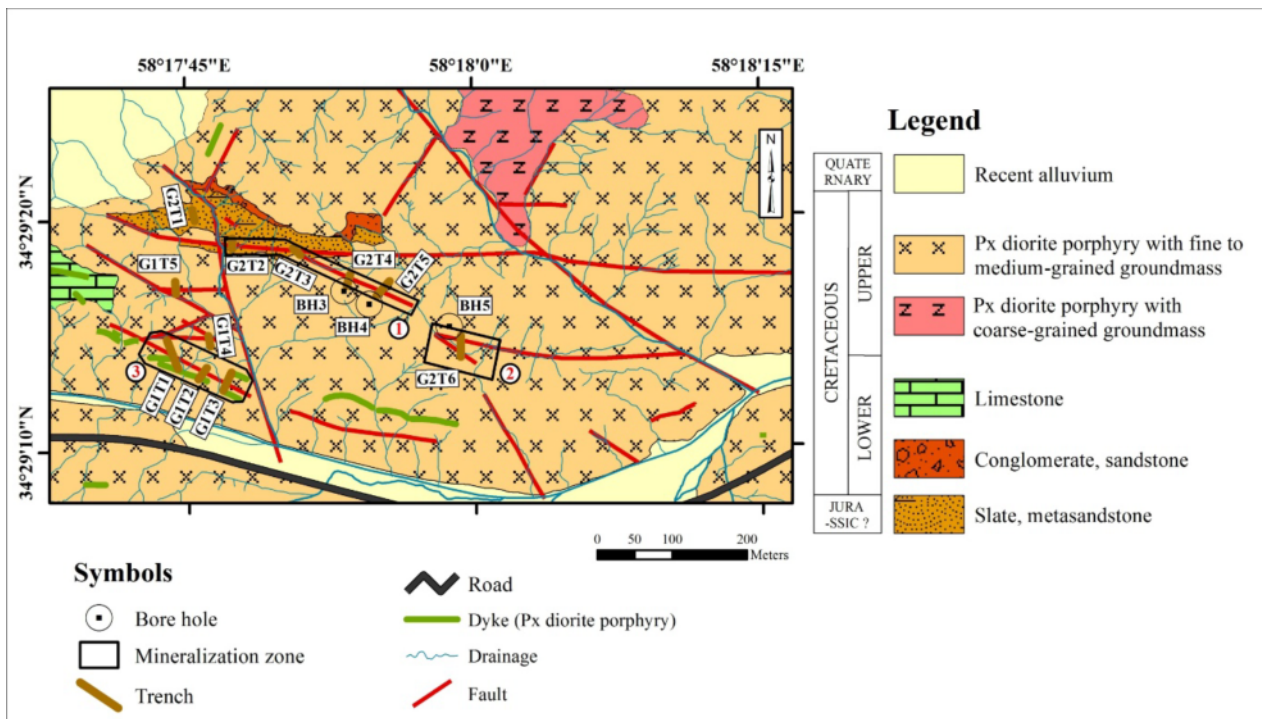
همچنین ۵ نمونه از رگه کانه‌دار همراه با سنگ در برگیرنده (دگرسان شده)، برای بررسی‌های کانی‌شناسی و دگرسانی به روش پراش پرتوی ایکس (XRD) در آزمایشگاه زرآزما تجزیه شد (جدول ۱). سرانجام برای تفسیر بهتر نوع کانی‌سازی در منطقه مورد بررسی ازداده‌های زمین شیمیایی ۲۰ نمونه خردمنگی (از محل ترانشه‌ها) [۱۴] به دست آمده از برداشت‌های شرکت کان کاوان آدک به روش طیف‌سنجی جرمی پلاسمای جفت شده القایی (ICP-MS) استفاده گردید. تجزیه نمونه‌ها در آزمایشگاه زرآزما و مرکز زمین‌شناسی منطقه شمال شرق کشور انجام شد.

زمین‌شناسی ناحیه‌ای

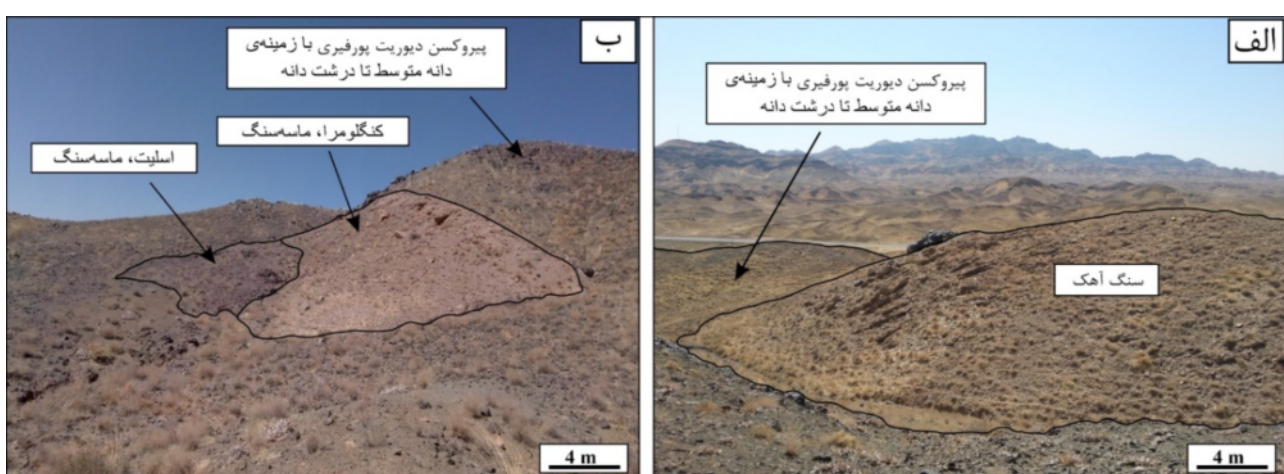
رخداد معدنی قوچی از نظر موقعیت جغرافیایی در شرق بجستان و در بخش شمال شرقی نقشه ۱:۱۰۰۰۰۰ فردوس [۱] واقع است. براساس بررسی‌های زمین‌شناسی انجام شده [۱۵]، گرانیت‌وئیدهای ناحیه بجستان بیشتر دارای ترکیب مونزو-گرانیت، گرانیت، سینوگرانیت و دیوریت هستند. همچنین با توجه به پایین بودن مقادیر پذیرفتاری مغناطیسی، بالا بودن شاخص اشباع آلومینیوم و نسبت اولیه ($^{87}\text{Sr}/^{86}\text{Sr} > 0.710$) هستند. خاستگاه این ماسه‌سنگ گرانیت‌وئیدهای نوع S هستند. خاستگاه این ماسه‌سنگ پوسته قاره‌ای بالایی وابسته به پهنه برخورد قاره است. این گرانیت‌وئیدها براساس سن‌سنگی بر پایه کانی زیرکن به روش U-Pb، سنی بین 1 ± 76 تا 1 ± 79 میلیون سال دارند و مربوط به کرتاسه پسین (کامپانین) هستند [۱۵]. گرانیت‌وئیدهای بجستان با توجه به بالا بودن مقادیر $^{87}\text{Sr}/^{86}\text{Sr}$ ، متفاوت از سایر بخش‌های قطعه لوت در نظر گرفته می‌شوند. تصور بر این است که به احتمال بسیار ناحیه بجستان پس از برخورد در زمان کرتاسه پسین به قطعه لوت پیوسته است [۱۵]. دایک‌های فلزیک و دیابازیک با روند شمال غربی-جنوب شرقی (NW-SE)

جدول ۱ کانی‌های تشکیل دهنده کانی‌سازی-دگرسانی در منطقه قوچی که به روش XRD شناسایی شده‌اند.

کانی‌ها	شماره نمونه
کوارتز، مسکوبیت-ایلیت، ژاروسیت، گوتیت	G1T1
کوارتز، مسکوبیت-ایلیت، کلسیت، کلربیت، گوتیت	G2T3
کوارتز، ژاروسیت، همی مورفیت	G2T5
کوارتز، گوتیت، ژاروسیت، هماتیت، کائولینیت	G2T6
کوارتز، کلسیت، هماتیت، کلربیت	GAB



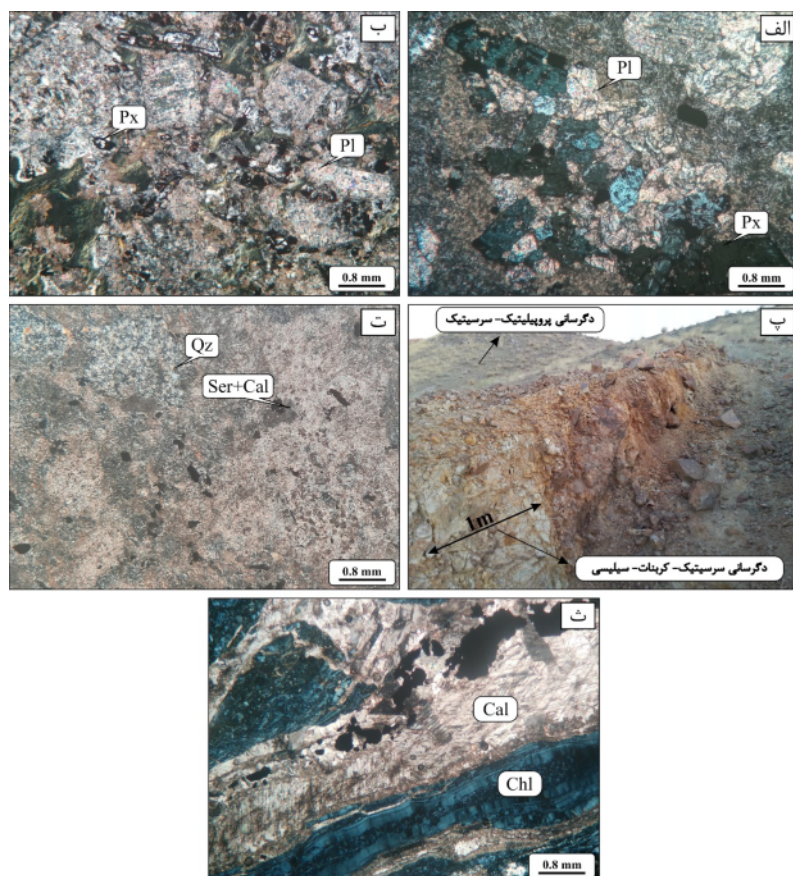
شکل ۲ نقشه زمین‌شناسی-کانی‌سازی منطقه پی جویی قوچی (سن واحدهای رسوبی منطقه براساس نقشه ۱:۱۰۰۰۰۰ فردوس [۱] و واحدهای نیمه عمیق براساس نقشه ۱:۲۵۰۰۰ شرق بجستان [۱۵]).



شکل ۳ تصاویر صحرایی از واحدهای زمین‌شناسی منطقه پی جویی قوچی، (الف) رخنمون واحدهای پیروکسن دیوریت پورفیری و سنگ آهک (دید به سمت جنوب شرق) ب) رخنمون واحدهای پیروکسن دیوریت پورفیری، کنگلومرا-ماسه‌سنگ و اسلیت-ماسه‌سنگ.

کلریتی شده‌اند (شکل‌های ۴ الف و ب). دایک‌های پیروکسن دیوریت پورفیری با روندهای شمال‌غربی-جنوب‌شرقی و شرقی-غربی بیشتر در جنوب غرب و غرب منطقه گسترش یافته‌اند. این دایک‌ها بافت پورفیری دارند و از درشت بلورهای پلازیوکلاز، پیروکسن و زمینه ریزسنجی تشکیل شده‌اند. درشت بلورها شامل ۲۰ تا ۲۵ درصد پلازیوکلاز (الیگوکلاز تا آندزین) با اندازه ۰/۲ تا ۱/۵ میلی‌متر و ۱۰ تا ۱۵ درصد پیروکسن (اوژیت و هدنبریت) با اندازه ۰/۲ تا ۵ میلی‌متر هستند. در این واحد، پلازیوکلازها از لبه و مرکز ۱۰ تا ۵۰ درصد و گاهی به طور کامل سرسیتی شده‌اند. پیروکسن‌های نیز به کلریت (به طور کامل) و گاهی به کلسیت (۱۰ تا ۳۰ درصد) دگرسان شده‌اند (شکل ۲).

واحد پیروکسن دیوریت پورفیری درشت بلور بیشترین گسترش را در منطقه مورد بررسی دارد و سنگ میزبان اصلی کانی‌سازی است (شکل‌های ۲ و ۳). این واحد دارای بافت پورفیری و گلومرول پورفیری با زمینه ریزسنجی است. این واحد براساس زمینه به دو بخش (۱) زمینه دانه‌متوسط تا ریزدانه که بخش عمده منطقه را در بخش شمال منطقه رخنمون دارد تقسیم می‌شود. درشت بلورهای تشکیل دهنده این واحد درشت بلورهای شکل-دار تانیمه‌شکل دار پلازیوکلاز (الیگوکلاز تا آندزین) با فراوانی ۲۰ تا ۲۵ درصد (اندازه ۰/۱ تا ۳ میلی‌متر) و ۱۰ تا ۱۵ درصد کلینوپیروکسن (اوژیت) با اندازه ۰/۱ تا ۲/۵ میلی‌متر هستند. در این واحد، پلازیوکلازها تا ۸۰ درصد سرسیتی شده‌اند. بلورهای پیروکسن نیز به طور کامل



شکل ۴ تصاویر میکروسکوپی و صحرایی از منطقه بی جویی قوچی: (الف) واحد پیروکسن دیوریت پورفیری با زمینه دانه متوسط تا ریزدانه، (ب) واحد پیروکسن دیوریت پورفیری با زمینه دانه متوسط تا دانه‌درشت، (پ) رگه کانی‌سازی با دگرسانی لبه‌ای و ناحیه‌ای (دید به سمت جنوب‌شرق)، (ث) دگرسانی سرسیتیک-کربنات-سیلیسی در نور قطبیده متقطع (Xpl)، (ج) دگرسانی کربنات، سیلیسی \pm کلریت در نور Xpl (Pl = پلازیوکلاز، Px = پیروکسن، Cal = کلسیت، Qz = کوارتز، Chl = کلریت، Ser = سرسیت [۱۸]).

دیوریت پورفیری شکل گرفته است (شکل ۵ الف). طول رگه‌ها ۶۰ تا ۲۰۰ متر و عرض آن‌ها ۱ تا ۲ متر است. راستای این رگه‌ها شمال‌غربی-جنوب‌شرقی و شرقی-غربی با شیب ۵۵ تا ۷۰ درجه به سمت شمال‌شرق و جنوب‌غرب است. کانی‌سازی در رگه‌ها شامل پیریت، گالن، اسفالریت، پیروتیت، آرسنوبیریت، کالکوبیریت همراه با کانی‌های باطله کلسیت، کوارتز و کلریت است. ورود سیال‌های کانه‌دار در فضای خالی گسل‌ها و شکستگی‌ها باعث دگرسانی سنگ میزبان و کانی‌سازی با بافت‌های رگه-رگچه، پرکننده فضای خالی و پراکنده شده است (شکل‌های ۵ ب و پ).

بر اساس نوع دگرسانی‌ها و روابط قطع شدگی در رگه و رگچه‌ها، توالی هم‌برزایی کانی‌های فلزی و غیرفلزی در ارتباط با محلول کانه‌دار در منطقه مورد بررسی رسم شد (شکل ۶).

کانه‌نگاری درون‌زاد

پیریت فراوان‌ترین کانی سولفیدی اولیه است که بیشتر در رگه-رگچه (۲۰ تا ۲۰۰ متر) درصد در برخی از رگچه‌ها و کمتر (۱ درصد) بصورت افسان دیده می‌شود. این کانی به صورت شکل دار تا نیمه‌شکل دار و با اندازه ۰,۰۲ تا ۰,۰۴ میلی‌متر دیده می‌شود. این کانی در اثر اکساش در سطح اغلب به گوتیت تبدیل شده است.

گالن از نظر فراوانی دومین کانی سولفیدی اولیه (۵ تا ۷ درصد) با اندازه از چند ده میکرون تا ۸ میلی‌متر است (شکل ۵-ت). این کانی در رگچه‌ها اغلب به شکل است و فرایند جانشینی در آن دیده نمی‌شود. گالن بیشتر همراه اسفالریت دیده می‌شود.

اسفالریت بصورت نیمه شکل دار و با اندازه ۰,۰۲ تا ۰,۰۳ میلی‌متر دیده می‌شود. این کانی در رگه و رگچه‌ها بیشتر بصورت منفرد و کمتر با بافت ناامیختگی با کانی کالکوبیریت دیده می‌شود (شکل ۵-ث).

پیروتیت بصورت بی‌شکل و با اندازه ۰,۰۲ تا ۰,۰۶ میلی‌متر (فراوانی کمتر از ۲ درصد) در رگچه‌های کلسیت-کوارتز-پیریت-گالن-اسفالریت-پیروتیت[±] آرسنوبیریت[±] کالکوبیریت شناسایی شد (شکل ۵-ت).

دگرسانی

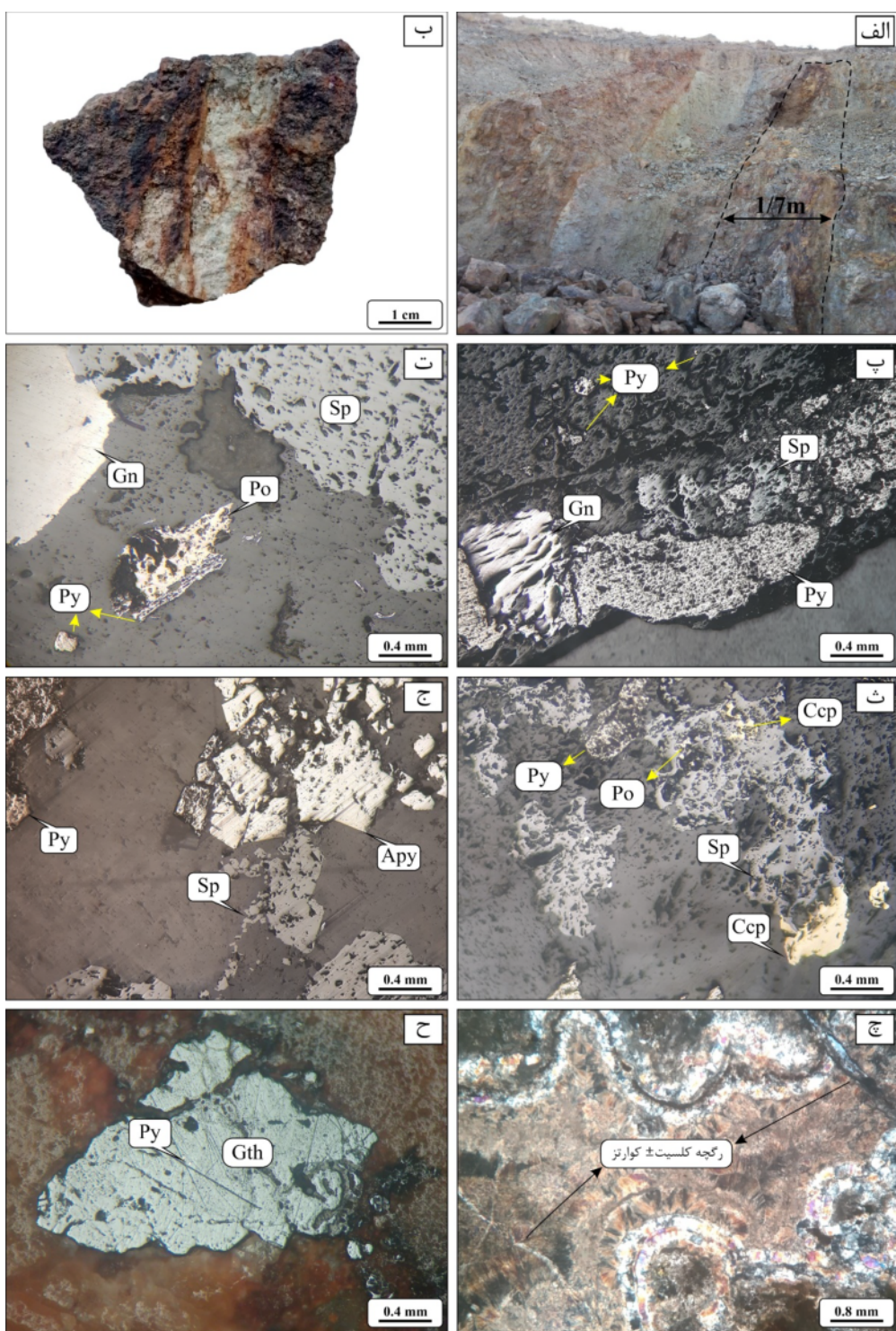
سه نوع دگرسانی اصلی پروپلیتیک-سرسیتیک، سرسیتیک-کربنات-سیلیسی و کربنات-سیلیسی[±] کلریت. در منطقه اکتشافی قوچی شناسایی شدند. دگرسانی پروپلیتیک-سرسیتیک بیشترین گسترش را در منطقه مورد بررسی دارد و احداثهای پیروکسن دیوریت پورفیری و پیروکسن آندزیت دستخوش آن شده‌اند. این دگرسانی در صحرا به رنگ سبز دیده می‌شود. در این دگرسانی، پلاژیوکلازها اغلب به سریت ۱۰ تا ۸۰ درصد و گاهی به طور کامل) تبدیل شده‌اند. پیروکسن‌ها نیز اغلب به کلریت (تا ۸۰ درصد و گاهی به طور کامل)، کلسیت (۵ تا ۷ درصد) و کانی اوپک (۱۵ تا ۳ درصد) دگرسان شده‌اند (شکل ۴ ت).

دگرسانی سرسیتیک-کربنات-سیلیسی دارای روند تقریباً خطی در لبه رگه کانی‌سازی بوده و واحد پیروکسن دیوریت پورفیری دستخوش آن شده داده است. در این دگرسانی، پلاژیوکلازها اغلب به سریت و کلسیت و کمتر به کانی‌های رسی (جدول ۱) دگرسان شده‌اند. مقدار سرسیت ۲۰ تا ۲۵ درصد، کلسیت تا ۲۰ درصد و کانی‌های رسی تا ۵ درصد در کل حجم سنگ است. کلسیت و کوارتز نیز به صورت رگچه همراه با کلریت و کانی‌های سولفیدی در این پهنه دگرسانی دیده می‌شوند. همچنین زمینه سنگ سیلیسی شده است (شکل‌های ۴ ت و ث).

دگرسانی کربنات-سیلیسی[±] کلریت بر واحد پیروکسن دیوریت پورفیری اثر گذاشته و همراه با کانی‌سازی است. در این دگرسانی، کلسیت، کوارتز و کلریت بیشتر در رگچه‌ها همراه با کانی‌های سولفیدی دیده شد. ضخامت این رگچه‌ها از ۱ میلی‌متر تا ۵ سانتی‌متر متغیر است. کوارتز در این دگرسانی در برخی نمونه‌ها در لبه یا مرکز رگچه و بصورت کالسدونی دیده می‌شود. کلسیت نیز بصورت ریز بلور و درشت بلور در رگچه‌ها حضور دارد. اندازه کلسیت در این رگچه‌ها ۰,۵ تا ۰,۶ میلی‌متر است (شکل ۴ ج).

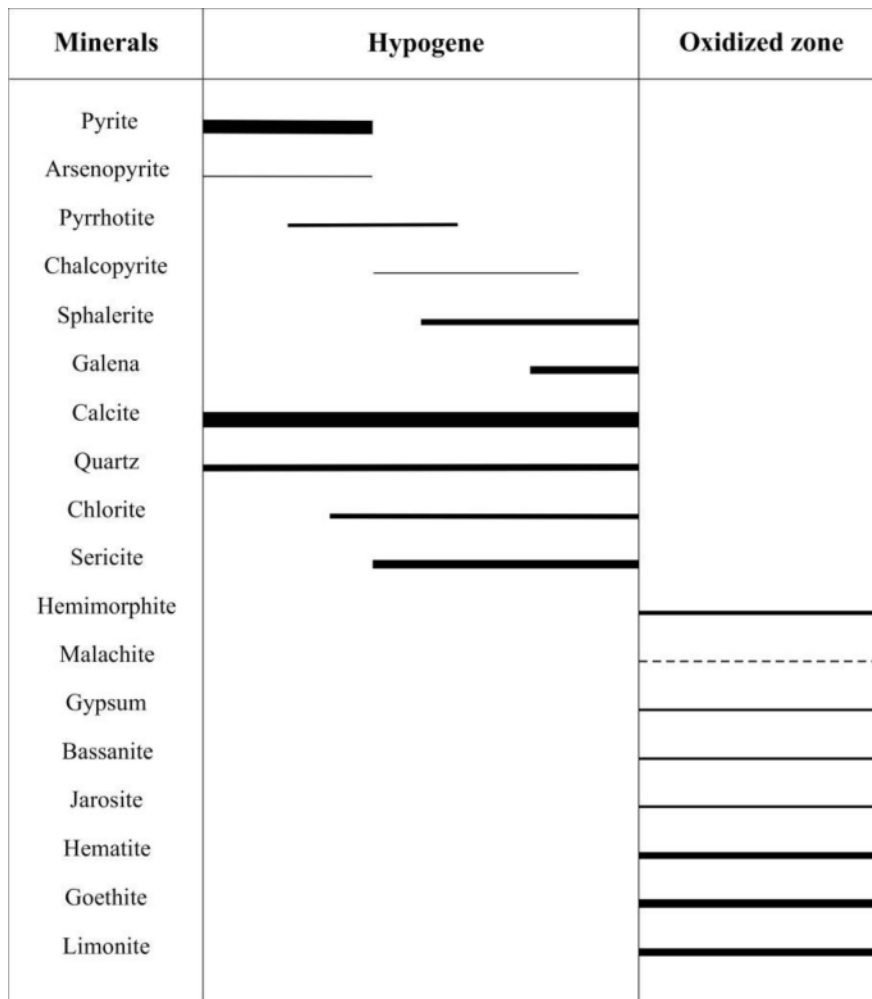
کانی‌سازی

کانی‌سازی در منطقه مورد بررسی کنترل ساختاری دارد و در قالب ۳ رگه اصلی در سنگ میزبان پیروکسن



شکل ۵ تصاویر صحرایی و میکروسکوپی مربوط به کانی‌سازی در منطقه پی جویی قوچی: (الف) رگه کانه‌دار ۱ با راستای شمال‌غرب-جنوب‌شرق در سنگ میزان پیروکسن دیبوریت پورفیری (دید به سمت شمال‌شرق)، (ب) نمونه دستی پیروکسن دیبوریت پورفیری با بافت رگچه‌ای، (پ) کانی‌سازی با بافت رگه-رگچه و پراکنده، (ت) کانی‌سازی پیریت، گالن، اسفالریت، پیروتیت، (ث) کانی‌سازی پیریت، اسفالریت، پیروتیت، کالکوپیریت (بافت نآمیختگی کانی‌های اسفالریت و کالکوپیریت)، (ج) کانی‌های پیریت-اسفالریت و آرسنوبیریت، (چ) رگچه کلسیت \pm کوارتز بدون کانی‌سازی، (ح) تبدیل پیریت به گوتیت از لبه (Py = پیریت، Gn = گالن، Po = اسفالریت، Sp = پیروتیت، Apy = آرسنوبیریت، Gth = کالکوپیریت، Ccp = کاسیتیریت)، (گ) رگچه کلسیت \pm کوارتز.

[۱۸]



شکل ۶ توالی همبازایی منطقه پی جویی قوچی.

کوارتز دومین کانی باطله همراه با کانی‌سازی است که اغلب همراه با کلسیت دیده می‌شود. این کانی بصورت شیری رنگ و خودشکل با اندازه چند ده میکرون تا ۰/۷ میلی‌متر تشکیل شده است (شکل ۵-ج). کلریت اغلب همراه با کلسیت و کوارتز در لبه و مرکز رگچه‌های دارای کانی‌سازی دیده می‌شود. فراوانی این کانی در برخی از رگچه‌ها به ۳۰ درصد حجمی رگچه می‌رسد (شکل ۴-ج).

کانه‌نگاری برون زاد

کانی‌های برون‌زاد شامل مالاکیت، گوتیت، هماتیت، ژاروسیت، همی مورفیت و اکسیدهای منگنز هستند (جدول ۱). کانی‌های گوتیت و هماتیت از اکسایش کانی پیریت و به مقدار کمتر کالکوپیریت و پیروتیت ایجاد شده‌اند. در برخی از نمونه‌ها، پیریت تا ۸۰ درصد و گاهی

آرسنوبیریت بیشتر بصورت شکل‌دار (لوژی شکل و مثلثی) و با اندازه ۰/۰۶ تا ۰/۰۲ میلی‌متر شناسایی گردید. این کانی با فراوانی کمتر از ۱ درصد بیشتر در رگچه‌های کلسیت-پیریت-گالان-اسفالریت-پیروتیت ± آرسنوبیریت دیده می‌شود (شکل ۵-ج).

کالکوپیریت بصورت بی‌شکل با اندازه ۰/۰۲ تا ۰/۰۴ میلی-متر بیشتر بصورت منفرد و در برخی از رگچه‌ها همراه با اسفالریت بصورت بافت ناامیختگی دیده می‌شود. فراوانی این کانی کمتر از یک درصد است (شکل ۵-ث).

کلسیت مهمترین کانی باطله همراه با کانی‌سازی است. این کانی شکل‌دار تا نیمه‌شکل‌دار و در قالب رگه-رگچه با اندازه یک میلی‌متر تا پنج سانتی‌متر دیده می‌شود (شکل ۵-ج).

جانشینی ثانویه: این بافت برآمده از تبدیل کانی‌های اولیه به کانی‌های ثانویه است. مهمترین کانی این بافت گوتیت بوده که بیشتر به صورت جانشینی از تبدیل پیریت و به مقدار کمتر از کالکوپیریت شکل گرفته است. پیریت در رگچه‌ها تا ۹۰ درصد و گاهی به طور کامل از لبه به مرکز به گوتیت تبدیل شده است (شکل ۵-ج).

نامیختگی: در این بافت، بعضی از ترکیب‌های دوتایی با شعاع و باریونی ویژه، در زمان تبلور به دلیل بالا بودن جنبش مولکولی و متغیر بودن اندازه شبکه قادر به شرکت در ساختار یک کانی هستند. البته، پس از تبلور به دلیل ثبیت اندازه شبکه طی سرد شدن و ایجاد ترکیبی که شعاع و باریونی آن با شبکه متبلور اختلاف دارد، از شبکه اصلی خارج می‌شوند، این پدیده را نامیختگی می‌گویند. براساس بررسی‌های ساخت و بافت در منطقه دو کانی نماینده این بافت اسفالریت و کالکوپیریت هستند که کانی اصلی اسفالریت بوده و کانی که از شبکه خارج شده کالکوپیریت است (شکل ۵-ث).

پراکنده: کانی نماینده این بافت پیریت است، که با مقادیر ۱-۲ درصد بصورت پراکنده در لبه رگچه‌های کانه‌دار با سنگ میزبان پیروکسن دیوریت پورفیری دیده می‌شود. این کانی در نمونه دستی با چشم غیر مسلح قابل مشاهده است، و در زیر میکروسکوپ بصورت شکل-دار و نیمه شکل‌دار دیده می‌شود (شکل ۵-پ).

زمین شیمی

بر اساس نتایج زمین شیمیایی [۱۴]، مقادیر اندازه‌گیری شده در نمونه‌های خرده‌سنگی برداشت شده در سطح برای سرب از ۱۸ تا ۴۵۴۰۰ گرم در تن، روی ۸۲ تا ۱۹۴۰۰ گرم در تن، طلا از ۲ تا ۲۶۳۹ میلی گرم در تن، مس از ۸ تا ۷۲۵/۵ گرم در تن، نقره از ۱ تا ۱۲ گرم در تن، کادمیوم ۱ تا ۵۰ گرم در تن و آرسنیک ۲ تا ۱۱۰/۶۵ گرم در تن است (جدول ۲). ماده معدنی اصلی سرب، روی، طلا، کادمیوم و آرسنیک است، نقره را به عنوان محصول فرعی می‌توان در نظر گرفت.

بیشترین مقدار سرب، روی، طلا، مس، نقره، کادمیوم و آرسنیک در مرکز منطقه و منطبق بر رگه شماره ۱ (ترانشه G2T5) در واحد پیروکسن دیوریت پورفیری (با دگرسانی لبه‌ای سرسیتیک-کربنات-سیلیسی) است

به طور کامل به گوتیت تبدیل شده است (شکل ۵-ج). همچنین مقدار گوتیت نسبت به هماتیت و ژاروسیت در درز و شکافها و سطح سنگ بیشتر است. کانی اسفالریت به همی‌مورفیت (براساس داده‌های XRD، با فراوانی کمتر از یک درصد) تبدیل شده است (جدول ۱).

ساخت و بافت

کانی‌سازی در منطقه مورد بررسی در قالب ساخت و بافت‌های رگچه‌ای، پرکننده فضای خالی، جانشینی ثانویه، نامیختگی و به مقدار کمتر به صورت پراکنده دیده می‌شود. در ادامه ساخت و بافت‌ها توصیفه می‌شوند.

رگچه‌ای: ساخت و بافت رگچه‌ای مهم‌ترین و فراوان‌ترین حالت کانی‌سازی در منطقه مورد بررسی است. ضخامت رگچه‌ها از ۰/۱ میلی‌متر تا کمتر از ۵ سانتی‌متر متغیر است. این رگچه‌ها با گسترش خطی در پهنه‌های گسلی و با تراکم تا ۱۰ رگچه در متر نیز دیده می‌شوند. براساس ترکیب کانی‌شناسی اولیه و ثانویه، تعداد ۳ نوع رگچه در منطقه مورد بررسی قابل مشاهده‌اند که عبارتند از ۱) کلسیت، کوارتز، پیریت، گالن، اسفالریت، پیروتیت \pm آرسنوبیریت \pm کالکوپیریت، ۲) کلسیت، کوارتز، پیریت \pm کالکوپیریت، و ۳) کلسیت \pm کوارتز در این، بین رگچه کلسیت، کوارتز، پیریت، گالن، اسفالریت، پیروتیت \pm آرسنوبیریت \pm کالکوپیریت فراوان‌ترین رگچه است. براساس روابط قطع شدگی رگچه‌ها، رگچه کلسیت، کوارتز، پیریت، گالن، اسفالریت، پیروتیت \pm آرسنوبیریت \pm کالکوپیریت قدیمی‌ترین بوده که با رگچه کلسیت، کوارتز، پیریت \pm کالکوپیریت قطع شده است. همچنین رگچه کلسیت \pm کوارتز جوانترین محسوب می‌شود (شکل ۵-ب و پ).

پرکننده فضای خالی: بافت پرکننده فضای خالی از بافت‌های موجود در منطقه مورد بررسی است. این بافت در کانسارهایی که کنترل ساختاری دارند بسیار معمول است و بیشتر با تقارن کانی‌ها در دو سمت رگچه مشخص می‌شود. در منطقه مورد بررسی، این بافت به صورت رگچه متقاضان شامل کانی‌سازی پیریت، کلسیت، گالن، اسفالریت، پیروتیت \pm آرسنوبیریت \pm کالکوپیریت در لبه و کوارتز یا کلسیت در مرکز شکل گرفته است (شکل ۵-ج).

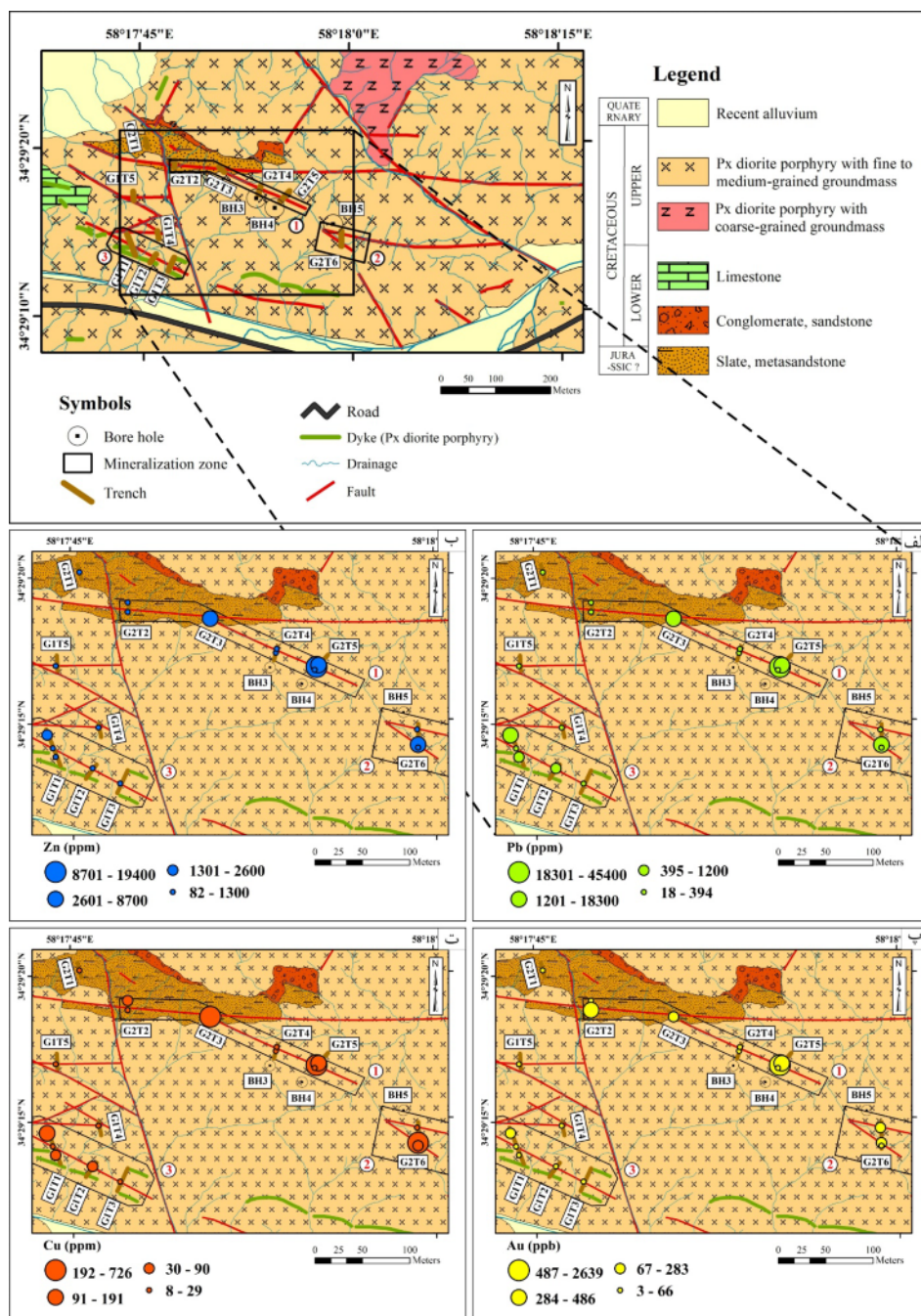
کانی گالن افزون بر سازنده‌های اصلی خود (Pb و S)، می‌تواند عناصر دیگری چون نقره، بیسوموت، آنتیموان، آرسنیک، روی، کادمیوم، سلنیوم و مس را به صورت جزئی در ساختار خود جای دهد [۲۰]. نقره با سرب همبستگی مثبت بالا (۸۶۲^{۰۰}) نشان می‌دهد (جدول ۳) که می‌تواند نشان دهنده حضور نقره در ساختار کانی گالن باشد. کادمیوم همبستگی مثبت بالا (۹۰۱^{۰۰}) با روی دارد (جدول ۳). از آن جا که این عنصر اغلب در اسفالریت جانشین می‌شود، می‌توان گفت که کادمیوم در ساختار آن حضور دارد. همچنین براساس نتایج ناهنجاری عناصر [۱۴]، طلا و آرسنیک در ترانشه پی جویی G2T5 به ترتیب دارای مقادیر ۲ تا ۲۶۳۹ میلی‌گرم در تن و ۲۴۰ تا ۱۱۰۵۳ میلی‌گرم در تن هستند، و افزایش مقادیر ناهنجاری آنها با هم ارتباط دارد.

(شکل ۷). بیشترین مقدار سرب مربوط به کانی گالن و بیشترین مقدار روی مربوط به کانی‌های اولیه (اسفالریت) و ثانویه (همیمورفیت) روی در رگه‌های همچنین بیشترین مقدار مس مربوط به حضور کانی‌های اولیه کالکوپیریت و ثانویه مالاکیت است. بیشترین مقدار آرسنیک مربوط به کانی آرسنوبیریت است. طلا به صورت آزاد دیده نشده است و به احتمال بسیار در قالب کانی‌های سولفیدی حضور دارد.

با استفاده از ضریب پیرسون [۱۹]، ارتباط و همبستگی میان عناصر مختلف بررسی شد، که مقادیر همبستگی عناصر در جدول ۳ آورده شده‌است. بر این اساس، بیشترین میزان همبستگی را سرب با روی (۹۰۲۷^{۰۰})، کادمیم با روی (۹۰۱^{۰۰})، نقره با سرب (۸۶۲^{۰۰}) و طلا با مس (۸۳۹^{۰۰}) دارد. همچنین مس همبستگی پسین با روی (۹۶۲^{۰۰}) نشان می‌دهد (جدول ۳).

جدول ۲ نتایج تجزیه نمونه‌های خردمندی برداشت شده از سطح در منطقه قوچی.

ترانشه	X	Y	Au (ppb)	Ag (ppm)	Cd (ppm)	Cu (ppm)	Pb (ppm)	Zn (ppm)
G1T1-S1	۲۹°۳۴'۱۴,۶۲"	۵۸°۱۷'۴۲,۸۵"	۲۲۵	۴,۲	۱۰,۴	۱۹,۰۶	۶۹۰۰	۲۶۰۰
G1T1-S2	۲۹°۳۴'۱۴,۱۶"	۱۷°۵۸'۴۴,۰۸"	۲۲	۱	۰,۰۵	۲۵,۲	۲۷۲	۱۲۰
G1T1-S3	۲۹°۳۴'۱۳,۸۷"	۱۷°۵۸'۴۴,۱۹"	۴۴	۲	۱,۸	۸۹,۶	۱۲۰۰	۱۳۰۰
G1T2	۲۹°۳۴'۱۳,۴۶"	۱۷°۵۸'۴۵,۷۲"	۲۱	۱,۶	۱,۶	۶۵,۸	۶۷۵,۲	۷۲۹,۹
G1T3	۲۹°۳۴'۱۲,۹۳"	۱۷°۵۸'۴۶,۸۴"	۶۶	۱,۸	۰,۰۵	۲۲,۲	۵۶	۲۸۴,۱
G1T4	۲۹°۳۴'۱۴,۸۶"	۱۷°۵۸'۴۵,۹۷"	۲۴	۳,۶	۰,۰۵	۲۹	۸۹,۴	۲۳۹,۴
G1T5	۲۹°۳۴'۱۶,۹۹"	۱۷°۵۸'۴۴,۲۴"	۳۶	۱,۶	۱,۴	۲۱,۴	۱۷۰,۲	۳۶۴,۸
G2T1	۲۹°۳۴'۲۰,۱۹"	۱۷°۵۸'۴۵,۲۷"	۲,۵	۰,۰۵	۰,۰۵	۱۲,۴	۲۶,۲	۹۵,۸
G2T2-S1	۲۹°۳۴'۱۹,۱۳"	۱۷°۵۸'۴۷,۲۵"	۲,۵	۰,۰۵	۱,۴	۵۱,۴	۳۷۸,۲	۵۷۳,۲
G2T2-S2	۲۹°۳۴'۱۸,۸۰"	۱۷°۵۸'۴۷,۲۵"	۴۵۷	۱	۰,۰۵	۲۸,۸	۱۸	۸۲
G2T3	۲۹°۳۴'۱۸,۵۴"	۱۷°۵۸'۵۰,۶۶"	۲۸۳	۶,۴	۳۵,۴	۳۸۱,۵	۸۰۰۰	۵۷۰۰
G2T4-S1	۲۹°۳۴'۱۷,۳۴"	۱۷°۵۸'۵۳,۳۴"	۶	۱,۶	۰,۰۵	۸	۵۴,۲	۸۶,۲
G2T4-S2	۲۹°۳۴'۱۷,۴۷"	۱۷°۵۸'۵۳,۳۸"	۷	۲,۸	۰,۰۵	۱۳,۶	۸۵,۶	۱۱۰,۴
G2T5-S1	۲۹°۳۴'۱۶,۸۴"	۱۷°۵۸'۵۵,۰۲"	۲۶۳۹	۱۲,۶	۵۰,۳۸	۷۲۵,۵	۴۵۴۰۰	۱۹۴۰۰
G2T5-S2	۲۹°۳۴'۱۶,۹۰"	۱۷°۵۸'۵۵,۱۰"	۴۸۶	۶,۴	۱۹,۲	۱۷۷,۸	۶۲۰۰	۷۴۰۰
G2T5-S3	۲۹°۳۴'۱۶,۷۴"	۱۷°۵۸'۵۴,۹۴"	۲,۵	۱,۴	۲,۶	۲۱,۸	۳۹۴	۹۱۲,۱
G2T6-S1	۲۹°۳۴'۱۴,۶۵"	۱۷°۵۸'۵۹,۱۴"	۱۳۷	۱,۸	۰,۰۵	۲۱	۷۱,۲	۲۲۱,۷
G2T6-S2	۲۹°۳۴'۱۴,۲۰"	۱۷°۵۸'۵۹,۱۷"	۸	۱,۴	۰,۰۵	۱۹,۸	۴۷,۸	۳۰۸,۲
G2T6-S3	۲۹°۳۴'۱۴,۱۳"	۱۷°۵۸'۵۹,۱۷"	۲۷۳	۳,۲	۸,۲	۴۱,۹	۱۸۳۰۰	۸۷۰۰
G2T6-S4	۲۹°۳۴'۱۴,۰۳"	۱۷°۵۸'۵۹,۱۷"	۳۷	۳	۰,۰۵	۴۳,۶	۱۲۷,۲	۸۴۲,۴



شکل ۷ نقشه‌های زمین شیمی تغییرات عناصر سرب، روی، طلا، مس در منطقه پی جویی قوچی

جدول ۳ ضریب همبستگی مربوط به هر جفت عنصر در کانی‌سازی منطقه قوچی (+++ همبستگی مثبت بالا، ++ همبستگی مثبت متوسط، + همبستگی مثبت ضعیف، - همبستگی منفی ضعیف، -- همبستگی منفی متوسط، --- همبستگی منفی بالا).

	Au	Ag	Cd	Cu	Pb	Zn
Au	1	+++	+++	+++	+++	+++
Ag	-0.861**	1	+++	+++	+++	+++
Cd	-0.835**	-0.928**	1	+++	+++	+++
Cu	-0.839**	-0.872**	-0.916**	1	+++	+++
Pb	-0.934**	-0.862**	-0.851**	-0.952**	1	+++
Zn	-0.906**	-0.906**	-0.901**	-0.962**	-0.972**	1

از مولیبden و رگههای صفحهای طلادار دیده میشود. شکل و حالت کانیسازی در بخشهای کنار تودهی نفوذی به دو بخش اسکارن کنارتی و اسکارن لبهای تقسیم میشود. در بخش اسکارن مجاورتی که مربوط به مرز برخوردگاه تودهی نفوذی با واحد آهکی بوده کانیسازی در بخشهای کم عمق از نوع $Cu-Bi \pm Au$ و در بخشهای عمیق از نوع $W \pm Cu \pm Au$ است. همچنین در بخش اسکارن لبه ای، شکل و حالت کانیسازی به صورت جانشینی، افshan، برش گرمابی و رگههای غنی از طلا و آرسنیک دیده میشود. در بخش لبه ای که با فاصله دورتر نسبت به تودههای نفوذی قرار دارد، کانیسازی به صورت افshan در دایکها، رگههای (Au)-Ag-Zn-Pb-Zn و رگههای غنی از طلا و استیبنیت است (شکل ۸).

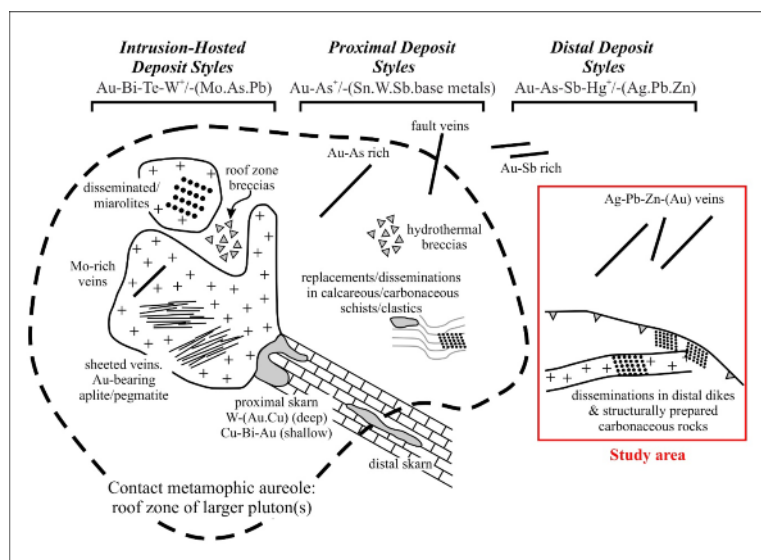
با توجه به بررسی های انجام شده، تودههای نفوذی بجستان ماهیت پرآلومین دارند و از گرانیتهای نوع S (سری ایلمنیت یا احیایی) محسوب میشوند. بیشتر این تودهها وابسته به پهنه برخورد قاره هستند [۱۵]. بنابراین تودههای نفوذی منطقه مورد بررسی نیز ماهیت احیایی دارند. با توجه به شواهد موجود در منطقه مورد بررسی شامل ۱) مجموعه فلزی با ماهیت احیایی چون پیروتیت، آرسنوبیرت و پیریت، ۲) کانیسازی به صورت رگه-رگچه، پرکننده فضای خالی، پراکنده و با کنترل ساختاری، ۳) کانیسازی طلا همرا با آرسنیک بالا، سرب، روی و نقره و ۴) دگرسانی لبه ای (سرسیتیک-کربنات-سیلیسی) و ناحیه ای (بروپلیتیک-سرسیتیک-کربناتی-سیلیسی و آرژیلیک)، که همخوانی زیادی با این سامانهها دارد، به احتمال بسیار کانیسازی منطقه از نوع طلای نفوذی تودههای انجام شده است. با توجه به وابسته به تودههای نفوذی احیایی است. با توجه به کنترل ساختاری کانیسازی، و نبود کانیسازی در همه جای توده دیبوریتی میزبان، نبود رگههای کوارتز صفحه ای و ناهنجاری بالای Pb و Zn کانیسازی شبیه بخش لبه ای است. بنابراین از آنجا که رگههای کانه دار تودهی نفوذی پیروکسن دیبوریت پورفیری را قطع میکند و آثار کانه زایی تنها در ارتباط با گسلها دیده میشود، خاستگاه رگههای کانه دار نمیتواند تودهی نفوذی نامبرده باشد و به احتمال بسیار تودهی دیگری در عمق تامین کننده سیالهای کانه دار است.

مدل کانیسازی

رخداد معدنی قوچی شباهت بسیاری به کانسارهای طلای وابسته به تودههای نفوذی احیایی (RIRGS) دارد. جایگاه زمین ساختی این کانسارها اغلب مرزهای همگرا، حوضه جلوکمان و پشتکمان یا پهنههای برخورد قاره ای است [۲۱]. این سامانهها همراه با نفوذیهای نیمه قلیایی متالومین حدواتسط تا اسیدی احیایی (گرانیت تا گرانوودیوریت) که نزدیک مرز بین سریهای ایلمنیت و مگنتیت هستند دیده میشوند [۲۲]. در این سامانهها، سنگ میزیان کانیسازی طلا را تودههای نفوذی تشکیل میدهند و از نوع ماقمایی- گرمابی هستند. عناصر آن شامل بیسموت، قلع تنگستن، آرسنیک، مولیبden، تلوریم، آنتیموان و کمی فلزهای پایه هستند [۲۳]. مقدار کانی سولفیدی رگهها کم و اغلب کمتر از ۵ درصد است [۲۵، ۲۴]. کانیهای آن احیایی و شامل آرسنوبیرت، پیروتیت، پیریت هستند و مگنتیت و هماتیت وجود ندارد. این سامانهها هاله دگرسانی گستردۀ ندارند و دگرسانی همراه کانیسازی است. دگرسانی ها شامل پهنههای فلدسپاتیک، سرسیتی، کربناتی، سیلیسی، گریزن، سیلیکات، تورمالین و آرژیلیک پیشرفتۀ است [۲۲]. کانیسازی به صورت رگچههای صفحه ای، برش های گرمابی، رگههای کوارتز صفحه ای، گریزن یا افshan دیده میشوند [۲۶].

هارت و همکاران [۲۷] این کانسارها را بر اساس فاصله کانیسازی از توده نفوذی به سه بخش تقسیم کرده اند: ۱) کانیسازی درون تودهی نفوذی Au- $\text{Sn} \pm \text{Te} \pm \text{As} \pm \text{Mo} \pm \text{W}$ که شامل Bi- $\text{Sn} \pm \text{Te} \pm \text{As} \pm \text{Mo} \pm \text{W}$ است. ۲) کانیسازی در کنار تودهی نفوذی (Proximal) که شامل اسکارن Cu-Bi- $\text{Au} \pm \text{W}$ و W- $\text{Cu} \pm \text{Au}$ است. ۳) کانیسازی دور از تودهی نفوذی (Distal) شامل Au-As-Sb- $\text{Hg}(\text{Ag}-\text{Pb}-\text{Zn})$

براساس مدل کانیسازی پیشنهادی برخی پژوهشگران [۲۸، ۲۷]، شکل و حالت کانیسازی و ناهنجاری زمین شیمی در رگهها در سه بخش همراه یا درون تودهی نفوذی، کنار تودهی نفوذی و بخش لبه ای که با فاصله از تودهی نفوذی قرار دارد از هم متفاوت هستند. بر این اساس، در بخش درونی یا همراه تودهی نفوذی کانیسازی به شکل تودههای، برشی، رگههای غنی



شکل ۸ طرحواره مدل زمین‌شناسی و پی جویی برای کانسارهای (RIRGS) که تغییرات شکل، حالت کانی‌سازی و ناهنجاری زمین‌شیمیایی در بخش‌های همراه توده‌ی نفوذی، کنار و لبه توده را نشان می‌دهد [۲۸،۲۷]. ویژگی‌های منطقه مورد بررسی با مستطیل قرمز رنگ بر روی تصویر مشخص شده است.

بخش عملیات صحرایی ما را یاری نمودند صمیمانه سپاسگزاریم.

مراجع

- [1] Pourlatifi A., "Geological map of Ferdows", Scale 1:100,000, Geological Survey of Iran (2003).
- [2] Aghanabati S. A., "Geology of Iran", Geological Survey of Iran, Tehran (2004) 586p.
- [3] Aghanabati S. A., "Major sedimentary and structural units of Iran (map)". Journal of Geosciences 7 (1998) 29-30.
- [4] Karimpour M. H., Malekzadeh Shafaroudi A., Stern C. R., Farmer L., "Petrogenesis of Granitoids, U-Pb zircon geochronology, Sr-Nd isotopic characteristic, and important occurrence of Tertiary mineralization within the Lut Block, eastern Iran (in Persian)", Journal of Economic Geology 4 (2012) 1-27.
- [5] Malekzadeh Shafaroudi A., "Geology, Mineralization, Alteration, Geochemistry, Microthermometry, Radiogenic Isotopes, Petrogenesis of Intrusive Rocks and Determination of Source of Mineralization in Maherabad and Khopik Prospect Area, South Khorasan Province", Unpublished PhD Thesis, Ferdowsi University of Mashhad, Mashhad, Iran (2009) 536p.
- [6] Arjmandzadeh R., Santos J. F., "Sr-Nd isotope geochemistry and tectonomagmatic setting of the Dehsalm Cu-Mo porphyry mineralizing intrusives from Lut Block, eastern Iran. Int", Journal of Earth Sciences 103 (2014) 123-140.

برداشت

در منطقه قوچی، کانی‌سازی بصورت رگه‌ای در راستای گسل‌هایی با روند شمال‌غربی-جنوب‌شرقی و شرقی-غربی در سنگ میزبان پیروکسین دیوریت پورفیری (کرتاسه پسین) رخ داده است. با توجه به شواهدی همچون ماهیت احیایی توده‌های نفوذی، نوع کانه‌ها با ماهیت احیایی، بافت، نوع دگرسانی‌ها و گسترش آنها، کانی‌سازی در منطقه قوچی همخوانی زیادی با کانسارهای طلای وابسته به توده‌های نفوذی احیایی (RIRGS) دارد. با توجه به کنترل ساختاری کانی‌سازی و ناهنجاری بالای سرب و روی، به احتمال بسیار بخش لبه‌ای سامانه است. با توجه به گسترش توده‌های نفوذی احیایی در مناطقی از قطعه لوت (چون بجستان و هیرد)، شناسایی هر چه بیشتر کانی‌سازی در منطقه قوچی از نظر چگونگی تشکیل، خاستگاه محلول کانه‌دار، سنگ میزبان و ساختارهای زمین‌شناسی، گام مثبتی برای پی جویی بهتر این نوع ذخایر در قطعه لوت است.

قدرتدانی

این پژوهش با حمایت مالی دانشگاه فردوسی مشهد در ارتباط با طرح شماره ۳۵۱۰۶ مورخ ۱۳۹۸/۱۱/۲۱ انجام شده است. از جناب آقای تقیزادگان ریاست دفتر فنی کان کاوان آدک که اطلاعات منطقه را در اختیارمان قرار دادند و جناب آقای مهندس حامد امینی که در

- of alteration zones and lineation in east of Bajestan using SPOT, ASTER, ETM+ and Geophysics data". Iranian Journal of Geosciences 24 (2015) 253-262 (In Persian with English abstract).*
- [17] Ashoori A. R., Karimpour M. H., Saadat S., "Geological map of Bajestan", Scale 1:100,000, Geological Survey of Iran (2008).
- [18] Whitney D. L., Evans B. W., "Abbreviations for names of rock-forming minerals". American Mineralogist 95 (2010) 185-187.
- [19] Rollinson H., "Using geochemical data: evaluation, presentation, interpretation", Longman Scientific & Technical, Essex, UK (1993) 352p.
- [20] Vanhook H. J., "The ternary system $Ag_2S-Bi_2S_3PbS$ ", Economic Geology 55 (1960) 759-788.
- [21] Thompson J. F. H., Newberry R. J., "Gold deposits related to reduced granitic intrusions, in: Hagemann, S.G., Brown, P.E. (eds), Gold in 2000", Rev. Econ. Geol 13 (2000) 377-400.
- [22] Lang J. R., Baker T., "Intrusion-related gold systems: the present level of understanding", Mineralum Deposita 36 (2001) 477-489.
- [23] Thompson J. F. H., Sillitoe R. H., Baker T., Lang J. R., Mortensen J. K., "Intrusion-related gold deposits associated with tungsten-tin provinces". Miner Deposita 34 (1999) 323-334.
- [24] Hart C., McCoy D., Goldfarb R. J., Smith M. T., Roberts P., Hulstein R., Bakke A. A., Bundtzen T. K., "Geology, exploration and discovery in the Tintina gold province, Alaska and Yukon. Integrated Methods for Mineral Discoveries", Global Exploration in 2002. Soc. Econ. Geo 9 (2002) 241-274.
- [25] Groves D., Goldfarb R., Santosh M., "The conjunction of factors that lead to formation of giant gold provinces and deposits in non-arc settings", Geosci. Front, 7 (2016) 303-314.
- [26] Newberry R. J., McCoy D. T., Brew D. A., "Plutonic-hosted gold ores in Alaska: igneous versus metamorphic origins", Resour Geol Spec Issue 18 (1995) 57-100.
- [27] Hart C. J. R., Baker T., Burke M., "New exploration concepts for country-rock-hosted, intrusion-related gold systems: Tintina gold belt in Yukon. In: Tucker TL, Smith MT (eds) The Tintina gold belt: Concepts, exploration and discoveries", British Columbia and Yukon Chamber of Mines Special 2 (2000) 145-172.
- [28] Lang J.R., Baker T., Hart C.J.R., Mortensen J.K., "An exploration model for intrusion-related gold systems". Society of Economic Geology Newsletter, 40 (2000) 6-15.

- [7] Miri Beydokhti R., Karimpour M. H., Mazaheri S. A., Santos J. F., Klötzli U., "U-Pb zircon geochronology, Sr-Nd geochemistry, petrogenesis and tectonic setting of Mahoor granitoid rocks (Lut Block, Eastern Iran)", Asian Earth Sciences 111 (2015) 192-205.
- [8] Mehrabi B., Tale Fazel E., Nokhbatolfoghahaie A., "The role of magmatic and meteoric water mixing in mineralization of Shurab polymetal ore deposit South of Ferdows: isotope geochemistry and microthermometry evidences (in Persian)", Iranian journal of mineralogy and crystallography 19 (2011) 121-130.
- [9] Javidi Moghaddam M., Karimpour M. H., Ebrahimi Nasrabadi K., Haidarian Shahri M. R., Malekzadeh Shafaroudi A., "Mineralogy, Geochemistry, Fluid Inclusion and Oxygen Isotope Investigations of Epithermal Cu ± Ag Veins of the Khur Area, Lut Block, Eastern Iran", Acta Geologica Sinica 92 (2018) 1139-1156.
- [10] Malekzadeh Shafaroudi A., Karimpour M. H., "Geology, Mineralization and fluid inclusion studies in Howz-e-Raise lead-zinc-copper deposite, Eastern Iran (in Persian)", Journal of Advanced Applied Geology 91 (2013) 1-14.
- [11] Malekzadeh Shafaroudi A., Karimpour M. H., "Mineralogic, fluid inclusion, and sulfur isotope evidence for the genesis of Sechangi lead-zinc (-copper) deposit, Eastern Iran", Journal of African Earth Sciences 107 (2015) 1-14.
- [12] Karimpour, M.H., "Comparison of Qaleh Zari Cu-Au-Ag deposit with other iron oxides Cu-Au (IOCG-type) deposits and new classification", Iranian Journal of Crystallography and Mineralogy 13 (2005) 165-184 (In Persian with English abstract).
- [13] Karimpour M. H., Malekzadeh Shafaroudi A., Heydarion M. R., Askari A., "Mineralization, alteration and geochemistry of Hired gold-tin prospecting area, South Khorasan province". Iranian Journal of Crystallography and Mineralogy, 15 (1) (2007) 67-90.
- [14] Jafari M., "Final report of polymetal, Kalateh Gok area of Bajestan", Industry, Mining and Trade Organization of Khorasan Razavi Province (2014) 137p.
- [15] Ahmadirohani R., Karimpour M.H., Rahimmi B., Malekzadeh Shafaroudi A., Klotzli, U., Santos, J.F., 2017. "Petrology, geochronology, geochemistry and petrogenesis of Bajestan granitoids, North of "Ferdows, Khorasan Razvi Province". Journal of Economic Geology 8 (2) 525-552 (In Persian with English abstract).
- [16] Ahmadirohani R., Karimpour M.H., Rahimmi B., Malekzadeh Shafaroudi, A., "Enhance